平成 17 年 5 月 10 日 285

強膜トンネル併用円蓋部基底トラベクレクトミー術後の濾過胞形状

狩野 廉,桑山 泰明

大阪厚生年金病院眼科

医 約

目 的:強膜トンネル併用円蓋部基底トラベクレクト ミー(円蓋部基底レクトミー)術後の濾過胞形状について 評価すること。

対象と方法:2000 年から 2002 年にマイトマイシン C 併用、強膜トンネル併用の円蓋部基底レクトミーを初回 手術として施行し、術後 6 か月以降に濾過胞形状評価を 行ったもののうち、評価時の眼圧が 18 mmHg 以下で あった 119 例 149 眼を対象とした。濾過胞形状は、広が り、奥行き、丈の高さ、境界、無血管領域の大きさ、結 膜厚、晩期房水漏出の有無について評価した。

結果:形状評価時期は術後528±243(平均値生標準偏差)日,評価時眼圧は12.0±3.0(平均値生標準偏差)

mmHg であった。濾過胞の境界が全周びまん性のものは 108 眼(72.5%),無血管領域が全くなかったものは 90 眼(60.4%)であり,明らかな晩期房水漏出はなかった。

結 論:強膜トンネル併用円蓋部基底レクトミーは, びまん性で無血管領域が少なく,晩期房水漏出の少ない 安全な濾過胞を形成する有用な術式である。(日眼会誌 109:285-291, 2005)

キーワード:円蓋部基底トラベクレクトミー,強膜トンネル,マイトマイシンC,濾過胞形状,びまん性濾過胞

Characteristics of Filtering Blebs after Fornix-based Trabeculectomy with a Scleral Tunnel

Kiyoshi Kano and Yasuaki Kuwayama

Department of Ophthalmology, Osaka Koseinenkin Hospital

Abstract

Purpose: To evaluate the characteristics of filtering blebs after fornix-based trabeculectomy with a scleral tunnel.

Patients and Methods: We studied 119 eyes of 149 patients who had undergone fornix-based trabeculectomy with mitomycin C as their primary surgery between 2000 and 2002 and in whom we could evaluate the characteristics of filtering blebs after a follow-up period of 6 months or more, and whose intraocular pressure at the evaluation time was 18mmHg or less. We evaluated the width, depth, height, border, avascular area, conjunctival thickness, and late-onset bleb leak of the filtering blebs.

Results: The mean period of evaluation was 528 ± 243 days (mean \pm standard deviation) after sur-

gery, and the mean intraocular pressure at that time was 12.0 ± 3.0 mmHg. Among these patients, 108 eyes (72.5%) had completely diffuse blebs and 90 eyes (60.4%) had completely vascular blebs. There was no apparent late-onset bleb leak.

Conclusion: Fornix-based trabeculectomy with a scleral tunnel appears to be an effective method of developing diffuse, vascular and safe blebs with a low risk of late-onset bleb leak.

Nippon Ganka Gakkai Zasshi (J Jpn Ophthalmol Soc 109: 285—291, 2005)

Key words: Fornix-based trabeculectomy, Scleral tunnel, Mitomycin C, Bleb characteristics, Diffuse bleb

I 緒 言

マイトマイシン C(MMC) の使用により、トラベクレクトミー(レクトミー) の術後成績は飛躍的に向上した¹⁾。

しかし一方で、増殖阻害剤の使用は濾過胞結膜をより菲 薄にし、血管に乏しく、しばしば結膜上皮細胞の欠如し た濾過胞を形成するため、生理的なバリア機能が低下 し、晩期の濾過胞関連感染症(濾過胞感染)発症のリスク

別刷請求先:553-0003 大阪市福島区福島 4-2-78 大阪厚生年金病院眼科 狩野 廉 (平成 16 年 8 月 6 日受付,平成 16 年 10 月 20 日改訂受理)

Reprint requests to: Kiyoshi Kano, M.D. Department of Ophthalmology, Osaka Koseinenkin Hospital. 4-2-78 Fukushima, Fukushima-ku, Osaka 553-0003, Japan

(Received August 6, 2004 and accepted in revised form October 20, 2004)

286 日眼会誌 109 巻 5 号

丰 4	病型の内割	
- 7 ₹	(あ型の)内部	7

	全体(149 眼)	単独手術(49 眼)	同時手術(100 眼)
原発開放隅角緑内障	79 眼(53.0%)	26 眼(53.1%)	53 眼(53.0%)
落屑緑内障	24 眼(16.1%)	2眼(4.1%)	22 眼(22.0%)
続発緑内障	19 眼(12.8%)	18 眼(36.7%)	1眼(1.0%)
正常眼圧緑内障	14 眼(9.4%)	3眼(6.1%)	11眼(11.0%)
原発閉塞隅角緑内障	13眼(8.7%)	0眼(0.0%)	13眼(13.0%)

は,MMC 未使用時に比べ3.3 倍になった²⁾ . MMC 未使用時のレクトミーにおける眼内炎発症率が $0.2\sim0.45$ % 3^{3} - 5^{3} なのに対し,MMC 併用のレクトミー(輪部基底結膜弁)における眼内炎発症率は $1.1\sim3.3$ % 6^{5} - 9^{3} と一桁多く,術5年後の眼内炎の推定発症率は7.5%にも上る 9^{3} . MMC の併用は諸刃の剣であり,眼圧コントロールと引き替えに,晩期の濾過胞感染の増加を招いた。視野障害の進行を止めるための手術が,同時に視力障害を来す重篤な合併症を比較的高頻度に伴うということが,MMCレクトミーを選択する上で大きな障壁となっている。

濾過胞感染の危険因子としては,下方部位がよく知られており,上方部位に対するオッズ比は7.0~7.7 倍⁶⁾¹⁰⁾である。しかし,血管に乏しい嚢胞状濾過胞や,濾過胞からの房水漏出は,それ以上に晩期感染の大きな危険因子であり⁸⁾,オッズ比は25.8 倍¹⁰⁾と非常に高い。レクトミーの結膜弁作製法は,本邦で一般的である輪部基底結膜弁と,円蓋部基底結膜弁に分けられるが,輪部基底結膜弁によるレクトミー(輪部基底レクトミー)では限局した無血管濾過胞となりやすい¹¹⁾¹²⁾。それに対し,円蓋部基底結膜弁によるレクトミー(円蓋部基底レクトミー)は,後方に瘢痕を形成しにくく^{13)~15)},びまん性に広がる血管に富んだ壁の厚い濾過胞を形成する傾向がある¹²⁾¹⁶⁾ため,上述のような晩期合併症のリスクが減少する可能性が期待される。

我々は前報¹⁷⁾で,強膜トンネル併用円蓋部基底レクトミーの術後眼圧コントロール成績と安全性について解析し,眼圧下降効果は輪部基底レクトミーと同等であり,安全性についても差異がないことを示した。今回はそれに引き続き,術後の濾過胞形状について詳細に調べ,解析したので報告する。

II対象と方法

対象は,2000年1月から2002年12月までに大阪厚生年金病院眼科でMMC併用,強膜トンネル併用の円蓋部基底レクトミーを初回手術として施行し,術後6か月以降に濾過胞形状評価を行ったもののうち,評価時の眼圧が18 mmHg以下であった119例149眼である。男性89眼,女性60眼,年齢は64.3 \pm 11.3(平均値 \pm 標準偏差)歳(30 \sim 86歳)であった。術式はレクトミー単独手術(単独手術)が49眼(32.9%),レクトミー+白内障同時手術(同時手術)が100眼(67.1%)であった。病型の内

訳は、原発開放隅角緑内障 79 眼(53.0%),落屑緑内障 24 眼(16.1%),続発緑内障 19 眼(12.8%),正常眼圧緑内障 14 眼(9.4%),原発閉塞隅角緑内障 13 眼(8.7%)であった(表 1)。

手術方法は前報¹⁷の通りである。まず円蓋部基底結膜弁を作製し、二重強膜弁を作製、深層弁を切除して、強膜弁下のトンネルを作製した。0.04% MMC を浸した吸血スポンジ(MQA®)を3分間留置した後、眼内潅流液(BSS Plus®)120 ml で洗浄した。同時手術例では、この後超音波白内障手術を施行した。強膜窓を作製し、周辺虹彩切除を行った後、強膜弁を4~6糸縫合し、結膜弁を同じへら針10-0ナイロン糸で角膜輪部に縫合した。術後、必要に応じてレーザー切糸を行い、濾過胞維持に努めた。房水を強膜弁後方から流出させるために、レーザー切糸は円蓋部側の縫合糸から順に行った。

濾過胞形状の評価項目は、横方向の広がり、奥行き, 丈の高さ,濾過胞の境界,無血管領域の大きさ,濾過胞 結膜の厚み、房水漏出の有無の7項目とし、以下のよう に評価した。横方向の広がりは、1象限を超えるもの、 強膜弁より大きいもの、強膜弁より小さいものの3段階 に分け, 奥行きは強膜弁より奥へ広がるものと強膜弁よ り小さいものに、丈の高さは角膜厚の2倍を超えるもの と2倍以下のものに分けた。濾過胞の境界は、全周がび まん性に広がるもの,一部が限局しているがびまん性の 部分もあるもの、全周が限局しているものの3段階に分 けた. 無血管領域の大きさは、全くないもの、濾過胞面 積の 50% 未満のもの,50% 以上のものの 3 段階に分け た. 濾過胞結膜の厚みは最も薄い部分で評価し、強膜縫 合糸が見えないもの,圧迫すれば見えるもの,圧迫なし で見えるものの3段階に分けた。房水漏出は、全くない もの, 圧迫により滲出するもの, 圧迫なしで漏出するも のの3段階に分けた。

濾過胞形状の各評価項目についてその割合を調べ,形状による眼圧値の違いがあるかどうかを unpaired-t 検定または分散分析を用いて解析した。また,各因子間の関連性について,項目ごとに χ^2 検定,Mann-Whitneyの U 検定,Spearman の順位相関検定のいずれかを用い,個々に解析した。さらに,濾過胞の境界および無血管領域の大きさと関与する患者背景因子が存在するかどうか調べるため,年齢,性別,病型,術式,手術時間,術前眼圧,術前投薬数,強膜弁縫合数,術後強膜弁切糸

耒	2	瀘溫服	为形状	7 2	P均眼圧
1.0	_	///总从马口	ピハンハ	_	

	眼(%)	眼圧(mmHg)	
			p=0.0015 *1
			p-0.0013 #1
4- 11- 77 1			
			p = 0.0333 * 2
4- 11- 77 1			
角膜厚 2 倍超	54 (36.2)	11.3 ± 3.2	p = 0.0183 * 2
角膜厚 2 倍以下	95 (63.8)	12.5 ± 2.9	
びまん性	108 (72.5)	11.8 ± 3.1	p=0.1753 *1
一部限局	33(22.1)	12.9 ± 2.9	
限局	8(5.4)	12.3 ± 2.4	
有血管	90(60.4)	12.3 ± 3.0	p=0.4450 *1
一部無血管	51 (34.2)	11.7 ± 3.1	
無血管	8(5.4)	11.5 ± 2.6	
縫合糸透見不能	90(60.4)	12.0 ± 3.1	p=0.5068 *1
圧迫にて透見	47 (31.5)	11.9 ± 3.0	
圧迫なしで透見	12(8.1)	13.0 ± 2.8	
なし	144 (96.6)	12.0 ± 3.1	p=0.7845 *1
渗出	5(3.4)	12.4 ± 1.9	
漏出	0(0.0)		
	びまん性 一一限局 限局 有血管 一部無位管 無血合糸透見不能 圧迫迫なし を通り としてで透見 なし 後出	強膜弁超 50(33.6) 強膜弁起 139(93.3) 強膜弁起 139(93.3) 強膜弁まで 10(6.7) 角膜厚 2 倍超 54(36.2) 角膜厚 2 倍以下 95(63.8) びまん性 108(72.5) 一部限局 33(22.1) 限局 8(5.4) 有血管 90(60.4) 一部無血管 51(34.2) 無血管 8(5.4) 縫合糸透見不能 90(60.4) 圧迫にて透見 47(31.5) 圧迫なしで透見 12(8.1) なし 144(96.6) 渗出 5(3.4)	一象限超 93(62.4) 11.4±3.1 強膜弁超 50(33.6) 12.9±2.5 強膜弁まで 6(4.0) 14.5±3.0 強膜弁超 139(93.3) 11.9±3.0 強膜弁まで 10(6.7) 14.0±2.3 角膜厚 2 倍超 54(36.2) 11.3±3.2 角膜厚 2 倍以下 95(63.8) 12.5±2.9 びまん性 108(72.5) 11.8±3.1 一部限局 33(22.1) 12.9±2.9 限局 8(5.4) 12.3±2.4 有血管 90(60.4) 12.3±3.0 一部無血管 51(34.2) 11.7±3.1 無血管 8(5.4) 11.5±2.6 縫合糸透見不能 90(60.4) 12.0±3.1 圧迫なしで透見 47(31.5) 11.9±3.0 圧迫なしで透見 12(8.1) 13.0±2.8 なし 144(96.6) 12.0±3.1 参出 5(3.4) 12.4±1.9

*1:分散分析 *2:unpaired-t 検定 平均值生標準偏差

本数,術後浅前房,低眼圧,脈絡膜剝離,房水漏出の有無,形状観察時期との関連について分散分析,Mann-Whitney の U 検定または χ^2 検定を用いて解析した。

III 結 果

術前眼圧は21.8±7.7(平均値±標準偏差)mmHg(12 ~56 mmHg), 術前投薬数は2.5±0.8(平均値±標準偏 差)剤(0~4剤)であり、濾過胞形状の評価時期は術後 528±243(平均値±標準偏差)日(183~1358日),評価時 の眼圧は12.0±3.0 mmHg(4~18 mmHg), 評価時の 投薬数は 0.3±0.6 剤(0~3 剤)であった。濾過胞形状評 価をした7項目について、それぞれの割合と平均眼圧を 表 2 に示す。濾過胞全周の境界がびまん性であったもの は108眼(72.5%), 無血管領域が全くなかったものは 90 眼(60.4%)であった(図1)。明らかな房水漏出のある ものはなく,圧迫により滲出のあるものが5眼(3.4%) あった。平均眼圧に有意差があった項目は濾過胞の広が り、奥行き、丈の3項目であり、濾過胞容積が大きいほ ど有意に眼圧が低かった。他の4項目については平均眼 圧に有意差はなかった。評価項目同士の間に有意な関連 があった組み合わせは、広がりと奥行き、境界と他の6 項目すべて,無血管領域と丈,結膜厚,房水漏出の計 10組であった(図2)。濾過胞の境界がよりびまん性であ るものほど、横方向の広がり、奥行きが大きく、丈はよ り低く, 無血管領域の少ない, 結膜厚の厚い濾過胞であ り、房水滲出が少なかった(表3)。また、無血管領域の 少ない濾過胞ほど、丈が低く、境界がよりびまん性で、 結膜厚のより厚い濾過胞であり, 房水滲出が少なかった (表 4)。濾過胞の境界と有意な関連のある患者背景因子

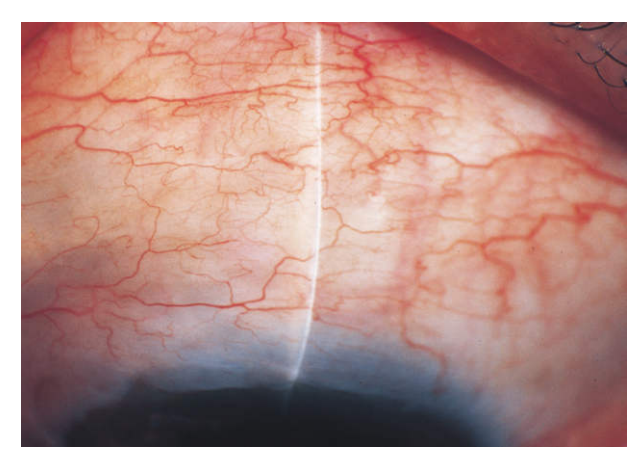


図 1 結膜血管に富んだ濾過胞.

54歳男性,原発開放隅角緑内障.円蓋部基底トラベクレクトミー+白内障同時手術3年後,眼圧11mmHg. びまん性に広がる無血管領域のない濾過胞を形成している.

はなかった(表 5)。無血管領域の大きさと有意な関連の ある患者背景因子は病型と術式のみで、続発緑内障、単 独手術では無血管領域が大きい傾向にあった(表 5~7)。

IV 考 按

当院では、1997年に円蓋部基底レクトミーと輪部基底レクトミーの両者を無作為割付し、その後の術後成績について検討した。その結果、全周がびまん性に広がる濾過胞を形成したものは、円蓋部基底で76.5%(13/17)、輪部基底で30.0%(6/20)、無血管領域が濾過胞面積の50%未満であったものはそれぞれ76.5%(13/17)および40.0%(8/20)と、円蓋部基底レクトミーは輪部基底レク

288 日眼会誌 109 巻 5 号

	広がり	奥行き	丈	境界	血管	結膜厚	漏出
広がり		< 0.0001	0.2111	< 0.0001	0.1135	0.6999	0.9703
奥行き	* 2		0.3292	0.0013	0.3668	0.9930	>0.9999
丈	* 2	* 1		0.0057	< 0.0001	0.0955	0.3530
境界	* 3	* 2	* 2		0.0007	0.0033	0.0426
血管	* 3	* 2	* 2	* 3		< 0.0001	0.0444
結膜厚	* 3	* 2	* 2	* 3	* 3		0.0572
漏出	* 2	* 1	* 1	* 2	* 2	* 2	

図 2 各因子間の関連性.

7項目の因子間の関連性について右上に p値を, 左下に使用した検定法を示す。

* $1: \chi^2$ 検定,* 2: Mann-Whitney の U 検定,* 3: Spearman の順位相関検定.

表 3 濾過胞の境界と他の因子

			濾過胞の境界		
		びまん性	一部限局	限局	
広がり	一象限超	77	14	2	p<0.0001 *1
	強膜弁超	30	14	6	
	強膜弁まで	1	5	0	
奥行き	強膜弁超	105	28	6	p = 0.0013 * 2
	強膜弁まで	3	5	2	
丈	角膜厚 2 倍超	32	17	5	p=0.0057 * 2
	角膜厚 2 倍以下	76	16	3	
結膜血管	有血管	73	16	1	p = 0.0007 * 1
	一部無血管	32	15	4	
	無血管	3	2	3	
結膜厚	縫合糸透見不能	71	19	0	p = 0.0033 * 1
	圧迫にて透見	32	12	3	
	圧迫なしで透見	5	2	5	
房水漏出	なし	106	32	6	p=0.0426 *2
	滲出	2	1	2	
	漏出	0	0	0	

*1:Spearman の順位相関検定 *2:Mann-Whitney の U 検定

表 4 無血管領域と他の因子

			結膜血管		
		有血管	一部無血管	無血管	
丈	角膜厚 2 倍超	20	28	6	p<0.0001 *1
	角膜厚 2 倍以下	70	23	2	
境界	びまん性	73	16	1	p = 0.0007 * 2
	一部限局	32	15	4	
	限局	3	2	3	
結膜厚	縫合糸透見不能	73	17	0	p<0.0001 *2
	圧迫にて透見	14	29	4	
	圧迫なしで透見	3	5	4	
房水漏出	なし	89	48	7	p = 0.0444 * 1
	滲出	1	3	1	
	漏出	0	0	0	

*1:Mann-Whitney の U 検定 *2:Spearman の順位相関検定

トミーに比して、有意にびまん性で血管に富んだ濾過胞を形成していた(未発表データ). 我々はそれ以降,びまん性に広がる濾過胞の形成を目標に、積極的に円蓋部基底レクトミーを施行してきた.

さらに、前報¹⁷⁾でも触れたように、我々は円蓋部基底 レクトミーに強膜トンネルを併用し、術後の切糸も後方 円蓋部側の糸から順に行うよう改良を加えた。以前に、 通常の強膜弁の円蓋部基底レクトミーと、強膜トンネル

表 5 濾過胞の境界および無血管領域の大きさと患者 背景因子との関連性

	濾過胞の境界	無血管領域の大きさ
年齢 *1	0.4811	0.1281
性別 *2	0.7621	0.9773
病型 *3	0.6374	0.0003
術式 *2	0.7212	0.0008
手術時間 *1	0.1779	0.5297
術前眼圧 *1	0.4778	0.7272
術前投薬数 *1	0.9027	0.9023
強膜弁縫合数 *1	0.5588	0.7268
強膜弁切糸本数 *1	0.5923	0.0718
浅前房 *2	0.3765	0.1871
低眼圧 *2	0.2470	0.9606
脈絡膜剝離 *2	0.6138	0.1222
房水漏出 * 2	0.9518	0.8131
形状観察時期 *1	0.7542	0.1247

各組み合わせにおける p 値を示す。

*1:分散分析 *2:Mann-Whitney の U 検定 *3: χ^2 検定

併用の円蓋部基底レクトミーを比較したところ,晩期の明らかな房水漏出はなかったものの,滲出は通常の強膜弁が40.0%(8/20)であったのに対し,強膜トンネル併用が7.1%(1/14)と有意に少なく(未発表データ),円蓋部方向へ広くびまん性に広がる濾過胞を形成するためには,より後方へ房水流出をはかることが合目的的であると考えたからである。

その結果、強膜トンネル併用円蓋部基底レクトミー術後の濾過胞は、横方向、奥行きとも大きく広がり、比較的丈の低いものが多かった。そして濾過胞の境界は、一部限局しているものまで含めて、びまん性に広がるものは94.6%であり、無血管領域の面積が50%未満の、結膜血管に富む濾過胞も94.6%と、いずれも大部分を占めた。さらに結膜厚は、縫合糸が圧迫なしで透見できない程度の比較的厚いものが91.9%と多くを占めた。1997年に施行した円蓋部基底レクトミーに比較して、血管に富む濾過胞がより多く形成されたのは、強膜トンネルを併用することによって、房水がより後方円蓋部に流出し、濾過胞の形態がよりびまん性に広がるものとなったためと考えられる。

円蓋部基底レクトミーと輪部基底レクトミー術後の濾過胞形状について、詳細に比較した過去の報告の多くは、円蓋部基底で有意に丈の低い正常血管の diffuse blebが形成され、輪部基底レクトミーでは限局した無血管濾過胞を形成しやすいとしている11)12)16)18)~20)。また、晩期の房水漏出の頻度については、輪部基底レクトミーで3.3~4%に生じ²¹⁾²²⁾、術 5 年後の房水漏出の推定発症率は17.9%に上る9)とされている。今回の強膜トンネル併用円蓋部基底レクトミーでは、明らかな晩期房水漏出はなく、圧迫により房水が滲み出す、いわゆる oozing が 3.4% とごく一部に認められたのみであった。さ

表 6 無血管領域と病型

		結膜血管		
	有血管	一部無血管	無血管	
原発開放隅角緑内障	44	30	5	p=0.0003
落屑緑内障	21	3	0	
続発緑内障	7	9	3	
正常眼圧緑内障	5	9	0	
原発閉塞隅角緑内障	13	0	0	
				/ ala -t-)

(χ²検定)

表 7 無血管領域と術式

	七曲色	結膜血管	Arrit, when deletes	
	有血管	一部無血管	無血管	
単独手術	20	23	6	p = 0.0008
同時手術	70	28	2	

(Mann-Whitney の U 検定)

らに、術後晩期の濾過胞感染症の頻度については、円蓋部基底 0%に対し輪部基底 1.3%(MMC 非使用、有意差なし)²³⁾あるいは 15%(MMC 使用、30 歳未満、有意差あり)¹¹⁾と、いずれも輪部基底で高い。このことは、囊胞状濾過胞や晩期房水漏出が濾過胞感染の大きな危険因子である⁸⁾ことを反映しているものと考えられる。円蓋部基底レクトミーは、びまん性に広がり、結膜厚の厚い、無血管領域の狭い濾過胞を形成することにより、晩期房水漏出のリスク、さらには濾過胞感染のリスクをより低くすることを可能とする術式であると我々は考えている。

しかしながら、円蓋部基底レクトミーにおいても、全体が無血管となるものは少ないものの、一部無血管となるもの(図3)が全体の1/3を占めた。なぜ円蓋部基底レクトミーでも無血管部ができるのであろうか。これまで一般的に、無血管濾過胞形成の原因は MMC の毒性にあると考えられてきた。MMC レクトミー後に切除された濾過胞組織の観察²⁴⁾²⁵⁾によれば、濾過胞結膜下細胞数や強膜線維芽細胞数は減少し、血管内皮細胞障害による血管新生の阻害が生ずる。その結果、増殖阻害薬非使用時および5-フルオロウラシル(5-FU)使用時と比較して、非薄化した無血管濾過胞を形成し²⁶⁾、濾過胞結膜の透過性が亢進²⁴⁾、さらには創傷治癒障害も相まって房水漏出を来す²⁵⁾。

しかし、術中に MMC を作用させた部位と無血管領域の範囲は必ずしも一致しないこと、濾過胞縮小に伴い無血管部も縮小することなどの事実から、結膜の菲薄化や無血管化は単純に MMC の作用とは考えにくい。Cordeiroら²⁷は白色家兎に円蓋部基底の濾過手術を行い、MMC を当てる範囲が小さなものは結膜の菲薄化した嚢胞状の濾過胞となり、広い範囲に塗布したものはびまん性に広がる濾過胞となったと報告している。そして、結膜厚は濾過胞内圧に反比例し、濾過胞の大きさに比例す

290 日眼会誌 109 巻 5 号



図 3 一部無血管領域のある濾過胞.

66 歳男性, 眼動脈閉塞症に続発した血管新生緑内障. 円蓋部基底トラベクレクトミー1 年後, 眼圧 10 mmHg. 濾過胞はびまん性に広がっているが, 11 時の強膜弁近 傍に無血管領域を形成している.

ると論述している。また、杉山ら²⁸⁾は濾過胞感染の発症 原因として、濾過胞の限局により内圧が上昇し、乏血管 濾過胞はさらに菲薄化して房水漏出を来すと考察してい る。

濾過手術における流出路は,強膜通過部と結膜下貯留 部の2つに大別することができる。MMCには強力な線 維芽細胞増殖抑制作用があり、強膜通過部の閉塞は強力 に阻害される。このとき同時に結膜下癒着が阻害され, 結膜下貯留部が広く確保されれば, 濾過胞結膜に対する 内圧は低く保たれる。しかし、MMC レクトミー術後、 強膜の線維芽細胞数は減少し,強膜弁上の結膜下細胞成 分も減少するのに対し, 濾過胞周囲結膜下の線維芽細胞 数は逆に増加し、瘢痕形成が強く起こる24)。 すなわち, 結膜下貯留部に対する MMC の効果は強膜通過部に比 較して弱いと考えられる。このアンバランスによって, 強膜通過部が保たれているにもかかわらず、周囲の結膜 下癒着が進行し、結膜下貯留部が限定された状態となる と,濾過胞が限局する。そして濾過胞内圧は上昇し,結 膜上皮を内側から圧迫する状態となる。結膜上皮の伸展 は結膜表面血管の血流障害を来し、虚血を来した細胞は MMC の影響を特に強く受ける29)ことから、血管内皮細 胞毒性24)25)による血管新生抑制効果とも相まって, 菲薄 化した無血管領域が形成されるのではないだろうか.

我々は無血管濾過胞の形成は、MMCの毒性に加えて、濾過胞限局による結膜表面の虚血が関与しているのではないかと考えている。今回の結果でも、濾過胞の境界が全周びまん性に広がるものは、無血管領域が50%未満であったものがほとんどで、より限局した濾過胞ほど、全体が無血管となるものが多くなっていた。円蓋部基底レクトミーは、輪部基底レクトミーのように円蓋部の結膜とテノン嚢が切断され、強い組織侵襲が加わることによって濾過胞全周に結膜下瘢痕を形成することは少

表 8 濾過胞の境界と病型

	びまん性	境界 一部限局	限局	
原発開放隅角緑内障	59	16	4	p=0.6374
落屑緑内障	19	4	1	
続発緑内障	11	7	1	
正常眼圧緑内障	9	3	2	
原発閉塞隅角緑内障	10	3	0	
				(-th.t.)

(x2検定)

ないものの、術中の結膜下剝離や強膜切開などによって、少なからず結膜下に侵襲が加わる。円蓋部基底レクトミーでも、部分的な、あるいは軽度の結膜下癒着による房水流出抵抗が生じたものでは、癒着部より内側の濾過胞内圧の上昇に伴って、結膜の部分的な菲薄化と無血管化を惹き起こすと考えられる。今回、続発緑内障で有意に一部無血管となるものが多かった(表 6)のも、続発緑内障では一般的に血液房水関門の破綻を来しやすいため、他の病型に比して結膜下瘢痕形成が生じやすく、濾過胞が部分的に限局しやすかったため(表 8)であると考えれば、上述の仮説をふまえて理解しやすい。

我々がレクトミーの最終目標と考えている, 晩期濾過 胞感染症のリスクの低い濾過胞を形成するためには, 薄 くびまん性に広がる濾過胞とし、無血管領域が生じにく い状態にすることが必要である。今回、強膜トンネル併 用円蓋部基底レクトミーでは、 術後平均1年半の時点で 全体の6~7割がそのような理想的な濾過胞を形成し、 まずまずの結果が得られたと考えている。これまで、輪 部基底レクトミーでは,大きな無血管濾過胞は眼圧が低 く、血管に富んだ濾過胞では encapsulated bleb が多い ため、眼圧レベルが高いイメージが持たれてきた。しか し今回の結果では、眼圧レベルは濾過胞の容積が大きい ほど有意に低いものの, 他の濾過胞形状, すなわち濾過 胞の境界, 無血管領域の大きさ, 結膜の厚み, 房水滲出 の有無との間に有意な関連はなかった。 強膜トンネル併 用の円蓋部基底レクトミーは,血管に富んだびまん性に 広がる濾過胞によって,輪部基底レクトミーと同等の良 好な眼圧コントロールが得られる170有用な術式であると 考えられた。しかしながら、良好な眼圧コントロールと 感染に強い濾過胞形状を, さらに長期にわたって維持で きるのかどうかについては,今後の長期経過観察が必要 である。また、部分的な無血管領域の形成をさらに減少 させるために、どのように術式を改良していけばよいか についても, 今後検討を重ねていく必要がある.

文 献

Kitazawa Y, Kawase K, Matsushita H, Minobe M: Trabeculectomy with mitomycin. A comparative study with fluorouracil. Arch Ophthalmol 109: 1693—1698, 1991.

- 2) Lehmann OJ, Bunce C, Matheson MM, Maurino V, Khaw PT, Wormald R, et al: Risk factors for development of post-trabeculectomy endophthalmitis. Br J Ophthalmol 84: 1349—1353, 2000.
- 3) Wilson P: Trabeculectomy: Long-term follow-up. Br J Ophthalmol 61:535—538, 1977.
- 4) Mills KB: Trabeculectomy: A retrospective long-term follow-up of 444 cases. Br J Ophthalmol 65: 790—795, 1981.
- 5) Katz LJ, Cantor LB, Spaeth GL: Complications of surgery in glaucoma. Early and late bacterial endophthalmitis following glaucoma filtering surgery. Ophthalmology 92: 959—963, 1985.
- 6) Higginbotham EJ, Stevens RK, Musch DC, Karp KO, Lichter PR, Bergstrom TJ, et al: Bleb-related endophthalmitis after trabeculectomy with mitomycin C. Ophthalmology 103:650—656, 1996.
- Greenfield DS, Suner IJ, Miller MP, Kangas TA, Palmberg PF, Flynn HW Jr: Endophthalmitis after filtering surgery with mitomycin. Arch Ophthalmol 114: 943—949, 1996.
- 8) Mochizuki K, Jikihara S, Ando Y, Hori N, Yamamoto T, Kitazawa Y: Incidence of delayed onset infection after trabeculectomy with adjunctive mitomycin C or 5-fluorouracil treatment. Br J Ophthalmol 81:877—883, 1997.
- 9) DeBry PW, Perkins TW, Heatley G, Kaufman P, Brumback LC: Incidence of late-onset blebrelated complications following trabeculectomy with mitomycin. Arch Ophthalmol 120: 297—300, 2002.
- 10) Soltau JB, Rothman RF, Budenz DL, Greenfield DS, Feuer W, Liebmann JM, et al: Risk factors for glaucoma filtering bleb infections. Arch Ophthalmol 118: 338—342, 2000.
- 11) Wells AP, Cordeiro MF, Bunce C, Khaw PT:
 Cystic bleb formation and related complications in limbus-versus fornix-based conjunctival flaps in pediatric and young adult trabeculectomy with mitomycin C. Ophthalmology 110: 2192—2197, 2003.
- 12) 平山さをり、庄司信行、森田哲也、河合裕美、林 良子、清水公也:線維柱帯切除術における結膜切 開部位の比較検討. あたらしい眼科 20:999—1003, 2003.
- 13) Luntz MH: Trabeculectomy using a fornix-based conjunctival flap and tightly sutured scleral flap. Ophthalmology 87: 985—989, 1980.
- 14) Shuster JN, Krupin T, Kolker AE, Becker B: Limbus-v fornix-based conjunctival flap in trabeculectomy. A long-term randomized study. Arch Ophthalmol 102: 361—362, 1984.
- 15) **Wise JB**: Mitomycin-compatible suture technique for fornix-based conjunctival flaps in glaucoma filtration surgery. Arch Ophthalmol 111: 992—997, 1993.

- 16) **Agbeja AM, Dutton GN**: Conjunctival incisions for trabeculectomy and their relationship to the type of bleb formation—a preliminary study. Eye 1:738—743, 1987.
- 17) **狩野 廉,桑山泰明,水谷泰之**:強膜トンネル併 用円蓋部基底トラベクレクトミーの術後成績. 日眼 会誌 109:75-82, 2005.
- 18) **Brincker P, Kessing SV**: Limbus-based versus fornix-based conjunctival flap in glaucoma filtering surgery. Acta Ophthalmol(Copenh) 70:641—644, 1992.
- 19) **Luntz MH, Freedman J**: The fornix-based conjunctival flap in glaucoma filtration surgery. Ophthalmic Surg 11:516—521, 1980.
- 20) 高橋 広,伊比健児,浅原茂生,秋谷 忍:原発開放隅角緑内障に対するトラベクレクトミー術後の濾過胞. あたらしい眼科 12:825—828, 1995.
- 21) **Beckers HJ, Kinders KC, Webers CA**: Five-year results of trabeculectomy with mitomycin C. Graefes Arch Clin Exp Ophthalmol 241: 106—110, 2003.
- 22) Perkins TW, Gangnon R, Ladd W, Kaufman PL, Heatley GA: Trabeculectomy with mitomycin C: Intermediate-term results. J Glaucoma 7: 230 —236, 1998.
- 23) **Tezel G, Kolker AE, Kass MA, Wax MB**: Comparative results of combined procedures for glaucoma and cataract: II. Limbus-based versus fornix-based conjunctival flaps. Ophthalmic Surg Lasers 28: 551—557, 1997.
- 24) Nuyts RM, Felten PC, Pels E, Langerhorst CT, Geijssen HC, Grossniklaus HE, et al: Histopathologic effects of mitomycin C after trabeculectomy in human glaucomatous eyes with persistent hypotony. Am J Ophthalmol 118: 225—237, 1994.
- 25) Hutchinson AK, Grossniklaus HE, Brown RH, McManus PE, Bradley CK: Clinicopathologic features of excised mitomycin filtering blebs. Ach Ophthalmol 112: 74—79, 1994.
- 26) Khaw PT, Doyle JW, Sherwood MB, Smith MF, McGorray S: Effects of intraoperative 5-fluorouracil or mitomycin C on glaucoma filtration surgery in the rabbit. Ophthalmology 100: 367—372, 1993.
- 27) Cordeiro MF, Constable PH, Alexander RA, Bhattacharya SS, Khaw PT: Effect of varying the mitomycin-C treatment area in glaucoma filtration surgery in the rabbit. Invest Ophthalmol Vis Sci 38: 1639—1646, 1997.
- 28) **杉山和歌子,福地健郎,須田生英子,中枝智子,田中陽子,原 浩昭,他**:線維柱帯切除術後の濾過胞感染症の7例. 眼紀52:956—959,2001.
- 29) **Fisher JF, Aristoff PA**: The chemistry of DNA modification by antitumor antibiotics. Prog Drug Res 32: 411—498, 1988.